

العنوان:	دقة التمييز المكانى لنموذج الارتفاع الرقمي وانعكاساتها على القياسات المورفومترية: حوض بندوية دراسة حالة
المصدر:	حوليات آداب عين شمس
الناشر:	جامعة عين شمس - كلية الآداب
المؤلف الرئيسي:	جابر، أحمد عبدالستار
المجلد/العدد:	مج 48
محكمة:	نعم
التاريخ الميلادي:	2020
الشهر:	يونيه
الصفحات:	327 - 349
رقم MD:	1092232
نوع المحتوى:	بحوث ومقالات
اللغة:	Arabic
قواعد المعلومات:	AraBase
مواضيع:	نظم المعلومات الجغرافية، القياسات المورفومترية، أحواض الأودية، العراق
رابط:	http://search.mandumah.com/Record/1092232



دقة التمييز المكانى لنموذج الارتفاع الرقمي وانعكاساتها على القياسات المورفومترية - حوض بندوية دراسة حالة

احمد عبد الستار جابر*

الاستاذ المساعد الدكتور/الجامعة المستنصرية، كلية التربية، قسم الجغرافية

المستخلص

تعتمد كفاءة التحليل المورفومترى لاحواض الاودية على دقة البيانات المستخدمة وطريقة التحليل. تم اختيار حوض بندوية الواقع في شمال العراق بوصفه احد الاحواض صغيرة المساحة اذ تبلغ مساحته حوالي (١٥٧.٣٢) كيلومترا مربعا وبذلك يمكن تكرار عملية التحليل المورفومترى عليه لاكثر من مرة لغرض مقارنة النتائج في الخصائص المورفومترية. تهدف الدراسة الحالية الى تحليل القياسات المورفومترية في حوض بندوية باعتماد دقة التمييز المكانى لنموذج الارتفاع الرقمي (DEM)، باعتماد تقنية نظم المعلومات الجغرافية وتعديلاته في مجال التحليل المورفومترى والمتمثلة بوسيلة التحليل المورفومترى morphometric toolbox ، وذلك لمعرفة اي الخصائص او المعاملات المورفومترية التي ستتأثر بدقة التمييز المكانى اكثر من غيرها، واثر ذلك على التنمية والتخطيط في المنطقة. اظهرت نتائج الدراسة ان اغلب المعاملات المورفومترية للحوض التي ترتبط باعداد واطوال وكثافة الوديان كان فيها تباين واضح وكبير في قيمة هذه المعاملات وذلك لاختلاف الدقة التمييزية المكانية لـ (نموذج الارتفاع الرقمي) (DEM)، اذ اعطت القياسات المورفومترية التي تم حسابها باعتماد على نموذج الارتفاع الرقمي بدقة تميز (٣٠) م arcsecond فيما تختلف عن تلك التي تم حسابها من نموذج الارتفاع الرقمي بدقة (٩٠) م arcsecond ٣ ، اذ اظهرت النتائج من الانموذج الاول (٣٠) م زيادة في اعداد المراتب النهرية واطوالها ومحيطها بنسبة وصلت الى خمسة اضعاف الانموذج الثاني (٩٠) م لاعداد المراتب واطوالها وبنسبة متباعدة لبقية المعاملات (الشكلية والتضاريسية)، اظهرت نتائج الدراسة ضرورة اختيار بيانات الارتفاع الرقمي بما يتناسب والتفاصيل المورفومترية التي يروم الباحث الحصول عليها.

كلمات مفتاحية : التحليل المورفومترى ، نموذج الارتفاع الرقمي ، حوض الوادي ،

دقة التمييز المكانى

١. المقدمة

تعد دراسة الخصائص المورفومترية ذات اهمية في مجال تحديد مدى التطور الجيولوجي لاحواض الاودية فضلا عن امكانية تحديد الخصائص الهيدرولوجية لها باعتبار الخصائص المورفومترية ضرورية لحساب علاقة الجريان السطحي بالامطار وتغذية المياه الجوفية. ان دقة القياسات المورفومترية تعتمد بالدرجة الاساس على مصدر البيانات ثلاثية الابعاد وطرق القياس والتقييمات المستخدمة. فقد بُرِز دور نظم المعلومات الجغرافية في الاونة الاخيرة (GIS) (التي سهلت عملية استنباط البيانات الثلاثية الابعاد التي توفرها المؤسسات الدولية المعنية بجمع البيانات عن المعالم الارضية باستخدام الاقمار الاصطناعية والرادارات والمحسّنات المحملة على متنها. اذ يُعد نموذج الارتفاع الرقمي (DEM) من المصادر المهمة في الوقت الحاضر لدراسة الخصائص المورفومترية لمعالم سطح الارض والذي يتصل بالقياسات الدقيقة والمجانبة لدراسة الاشكال الارضية ومنها الاحواض المائية . ان تنوع مصادر المعلومات ثلاثية الابعاد واختلاف دقتها المكانية يجعل هناك تباينا واختلافا في مقدار التفاصيل التي يمكن الحصول عليها حتى لو استخدمت تقنية التحليل والقياس ذاتها. ان الدراسات المورفومترية التي يمكن من خلالها دراسة الاشكال الارضية بالاعتماد على الاساليب الرياضية والهندسية لتحديد قياسات وابعاد الاشكال الارضية بصورة دقيقة ، ولما كانت الاحواض المائية تمثل بيئات متعددة الأهمية، فتعد الدقة التمييزية المكانية لنماذج الارتفاع الرقمي مكملة لاعطاء صورة واضحة ونتائج دقيقة، ومن ثم المساهمة في اتخاذ القرارات السليمة الخاصة بالتنمية واستثمار المنطقة المدروسة (الاحواض).

- مشكلة البحث

تكمّن مشكلة البحث في وجود تباين في نتائج القياسات المورفومترية التي يتم حسابها من نموذج الارتفاع الرقمي بدقات تمييز مكانية مختلفة وحل هذه المشكلة تطرح التساؤلات الآتية :

- أ. هل للدقة التمييزية المكانية لنماذج الارتفاع الرقمي اثر في دراسة المعاملات المورفومترية لاحواض المائية؟
- ج. ماهي الدقة التمييزية المناسبة في دراسة وتحليل المعاملات المورفومترية الخاصة بالاحواض المائية؟
- د. ماهي اهم المعاملات المورفومترية الاكثر تاثرا بدقة التمييز المكانية للبيانات؟

- فرضية البحث

للاجابة عن تساؤلات مشكلة البحث من خلال الفرضية التي يمكن صياغتها بالشكل الاتي:

- أ. يمكن الاعتماد على الدقة التمييزية المكانية لنماذج الارتفاع الرقمي في الدراسات المورفومترية لسهولتها ودقتها.

ب. تباين المعاملات المورفومترية في درجة تاثرها بدقة التمييز المكانية من معامل الى اخر.

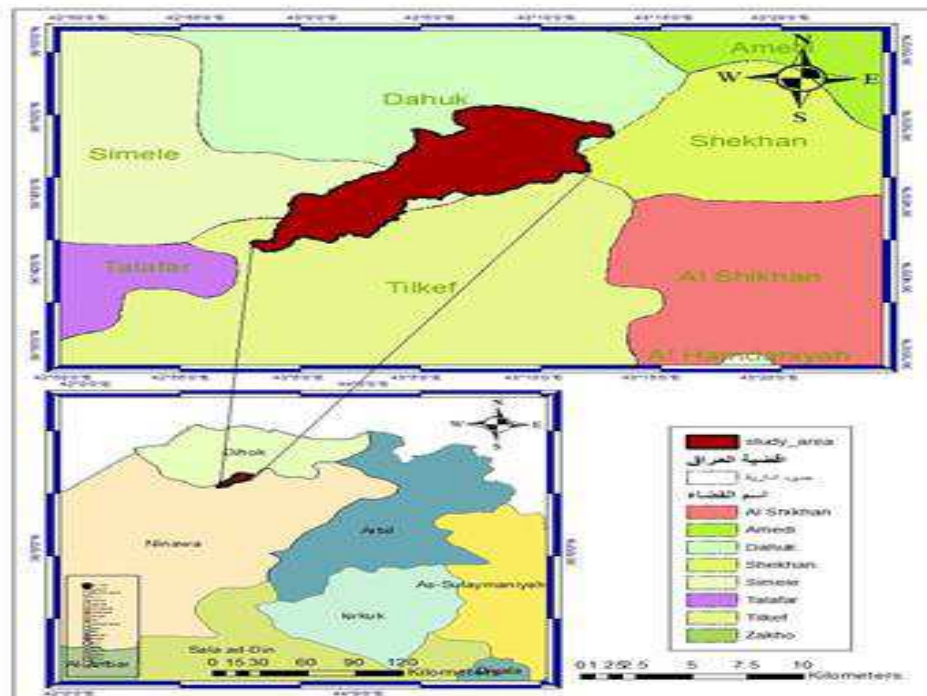
ج. تنوع البرامج والادوات والنظم ومنها انظمة GIS التي تساعده في دراسة المعاملات المورفومترية النهرية.

٢. المواد وطريقة العمل

تمت دراسة حوض بنديوية من خلال اعتماد الاليات الآتية :-

دقة التمييز المكاني لنموذج الارتفاع الرقمي وانعكاساتها على
القياسات المورفومترية- حوض بندوية دراسة حالة

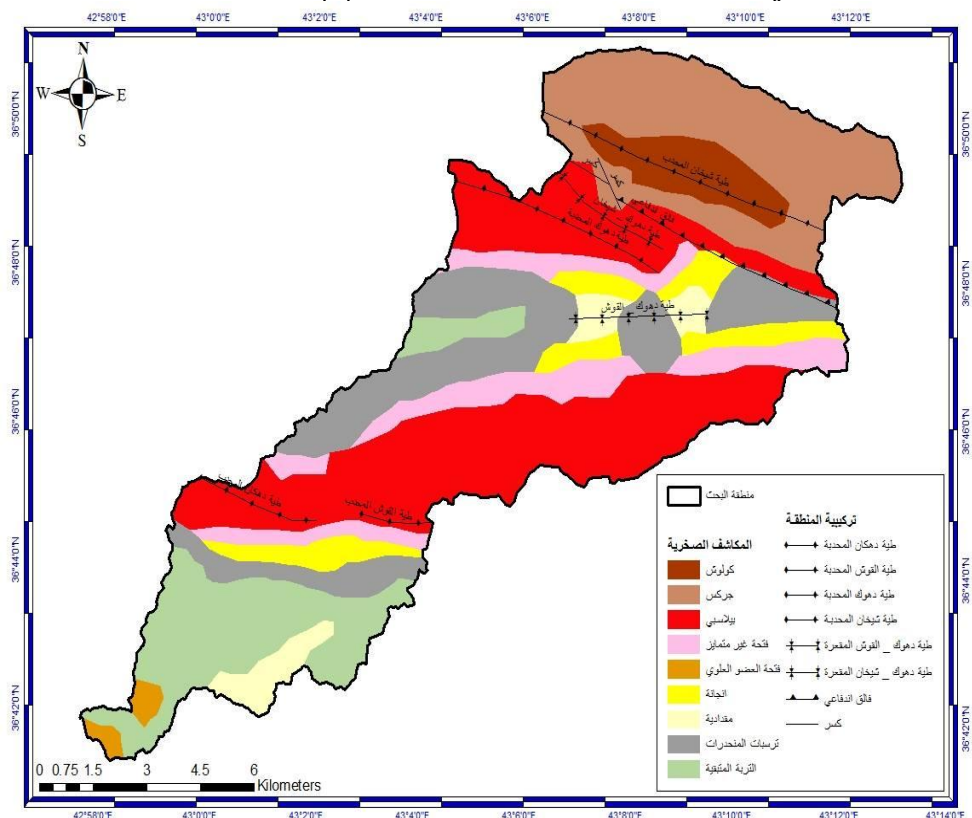
- ١ . اعتماد نموذجين من الارتفاع الرقمي بدقتى تميز (٣٠ م و ٩٠ م) واستقطاع شبكة الاودية المراد تحليلها مورفومتريا (حوض بندوية)
 ٢. تحديد حدود الحوض و القناة والجري الرئيس باستخدام SRTM- DEM واستخدام ArcGIS - hydrology toolbox
 - ٣ حساب الخصائص المورفومترية المتعددة (الشكلية و العددية و التضاريسية) عن طريق الخاصية MorphometricToolbox^١.
 ٤. موقع وخصائص منطقة الدراسة
- يقع حوض بندوية شمال محافظة نينوى في الجزء الشمالي الشرقي منها والجزء الجنوبي الغربي من محافظة دهوك ،ويصب في جنوب شرق بحيرة سد الموصل ويتحدد فلكياً بين دائري عرض (٤٢°٥٧'٣٩") و(٤١°٤١'٢٢") شمالي وقوسي طول (٣٦°٥١'١١") شرقاً بين دهوك وسميل وتلکيف في محافظة دهوك ونينوى، وتبلغ مساحة الحوض الإجمالية (١٥٢.٥٣) كم٢ و اقصى طول للحوض (١٥٧.٣٢) كم و اقصى طول للحوض (٣١.٤٥) كم، شكل (١).



شكل (١) موقع منطقة الدراسة

المصدر :- من عمل الباحث باعتماداً ١. وزارة الموارد المائية ، الهيئة العامة للمساحة ، خريطة العراق الادارية، بمقاييس ١:١٠٠٠٠٠ ، بغداد ، ٦.٢٠٠٦ بنظم المعلومات الجغرافية (Arcgis, ١٠.٣)

اما اهم الخصائص الطبيعية في الحوض فمن الناحية الجيولوجية التركيبية تقع المنطقة ضمن نطاق الطيات العالية حسب (الشايك ٢٠١٤) و تتخللها بعض الطيات المحدبة والممقررة التي تتبادر اتجاهاتها واطوالها، وبالتالي يتباين تأثيرها على الخصائص المورفومترية للحوض ومن اشهرها طية دهكان و القوش ودهوك وشيخان المحدبات، اما الطيات الممقررة فهي دهوك - القوش ودهوك - شيخان شكل (٢)،



شكل (٢) جيولوجية منطقة الدراسة (المكافئ الصخرية والتركيبية)

المصدر من عمل الباحث باعتماد:

- Varujan sissakian,dikran hagopian,eman hasan, geological map of al_mosul quadrangle, sheet nj_٣٨_١٣.

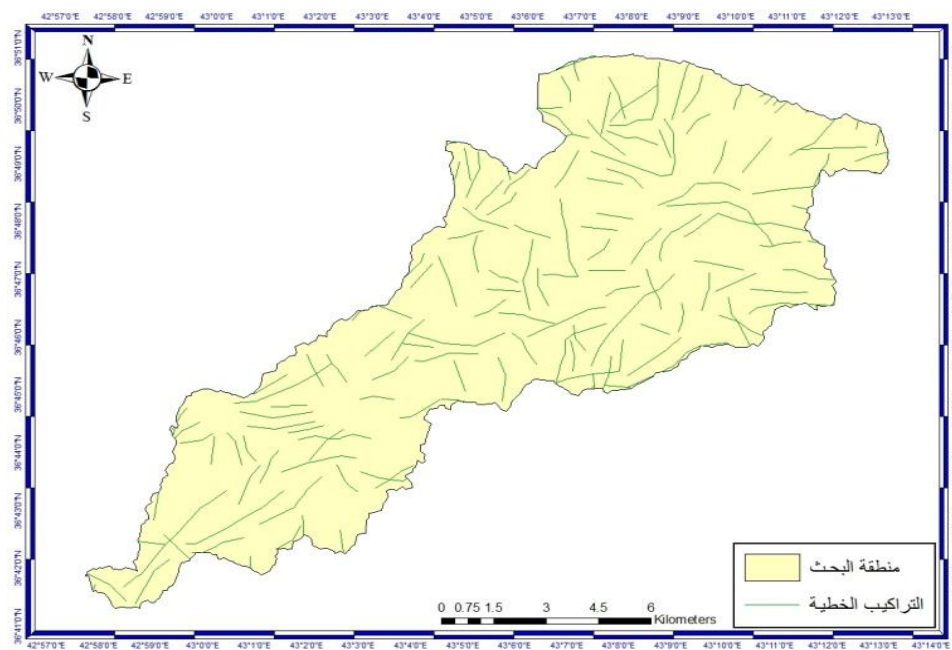
- Arcgis, ١٠.٣.

في حين تتبادر المكافئ الصخرية للمنطقة بين صخور الزمن الثالث (تكونين كولوش) ذو الصلابة العالية في شمال شرق الحوض الى رواسب الزمن الرباعي (عصر الاهلوسين) في الجنوب الغربي ذو الصلابة الهشة، جدول (١) وبالتالي تتبادر قدرة المجاري المائية على شق وديانها تبعاً لصلابة هذه الصخور من منطقة الى اخرى.

من الشكل (٣) يظهر ان الاتجاه السائد للتراكيب الخطية هو الشمال الشرقي - الجنوبي الغربي وشمال غرب - جنوب شرق متوافقاً مع الطيات و السلسل الجبلية في المنطقة.

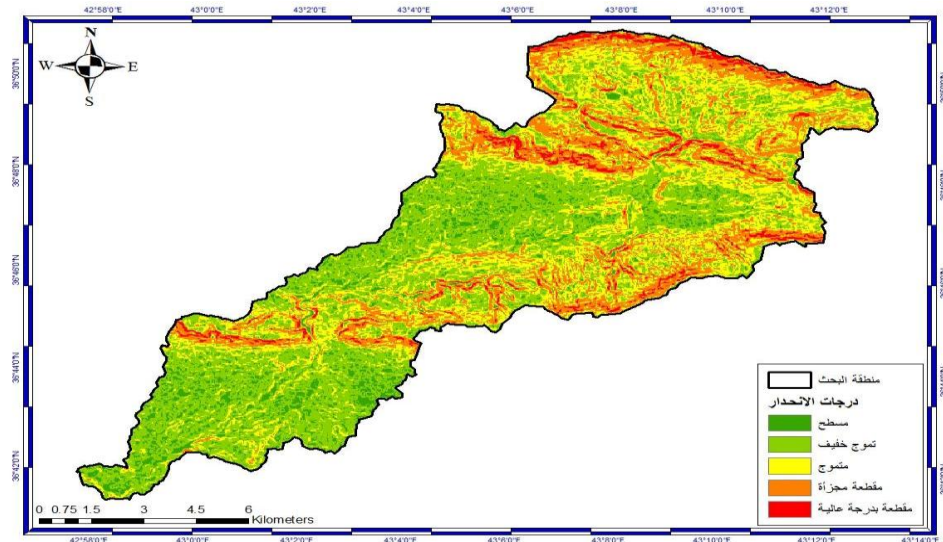
اما الانحدار من الشكل (٤) وجدول (٢) يتضح ان اعلى درجات الانحدار كانت بالاتجاه صوب الشمالي الشرقي او مناطق الالتواءات (الطيات العالية)، ونقل كلما اتجهنا

نحو الجنوب الغربي و ازداد انبساط سطح الارض و ساهم هذا في توجيه المجرى المائي
باتجاه الانحدارات.



شكل (٣) التراكيب الخطية في منطقة الدراسة

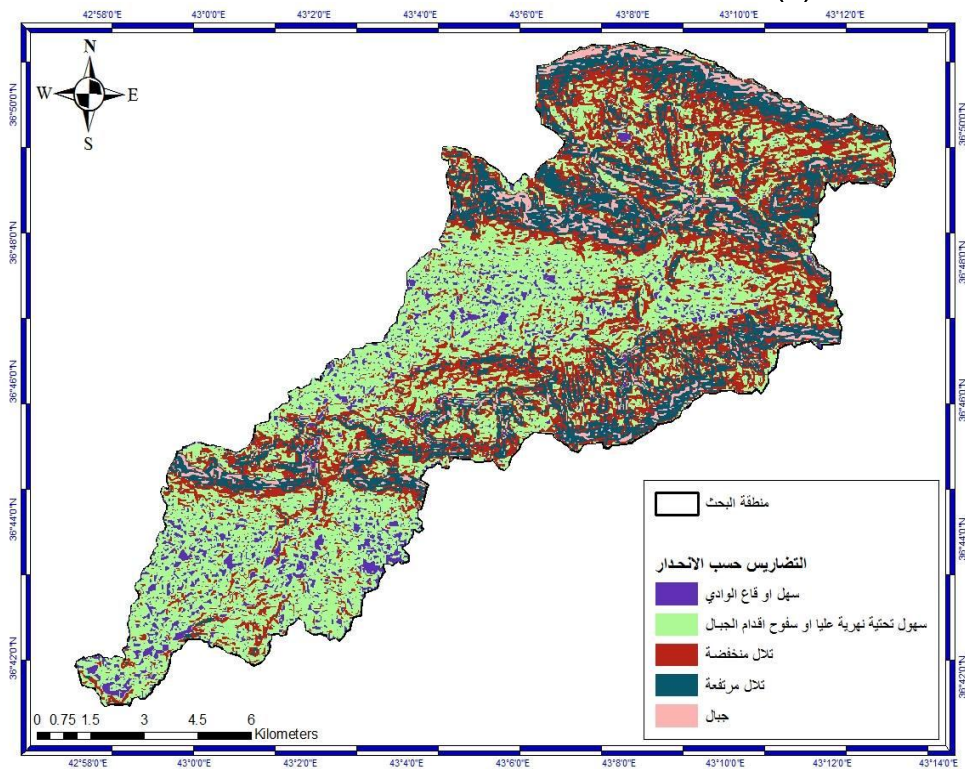
المصدر:- من عمل الباحث باعتماد برنامج (pic geomatica, ٢٠١٣)
و برنامج (Lansdsat ٨,b^٥) و صور (rokeworks) ٦٦



شكل (٤) درجات الانحدار حسب (ZINK)

المصدر:- من عمل الباحث باعتماد نموذج الارتفاع الرقمي(DEM) و برنامج
.arcgis, ١٠.٣

كما تبينت اشكال سطح الارض (التضاريس) تبعاً للانحدار بين المستوي (سهل او قاع وادي) في الاجزاء الوسطى و الجنوبية الغربية الى جبال عالية في الاجزاء الشمالية الشرقية (شكل ٥)،



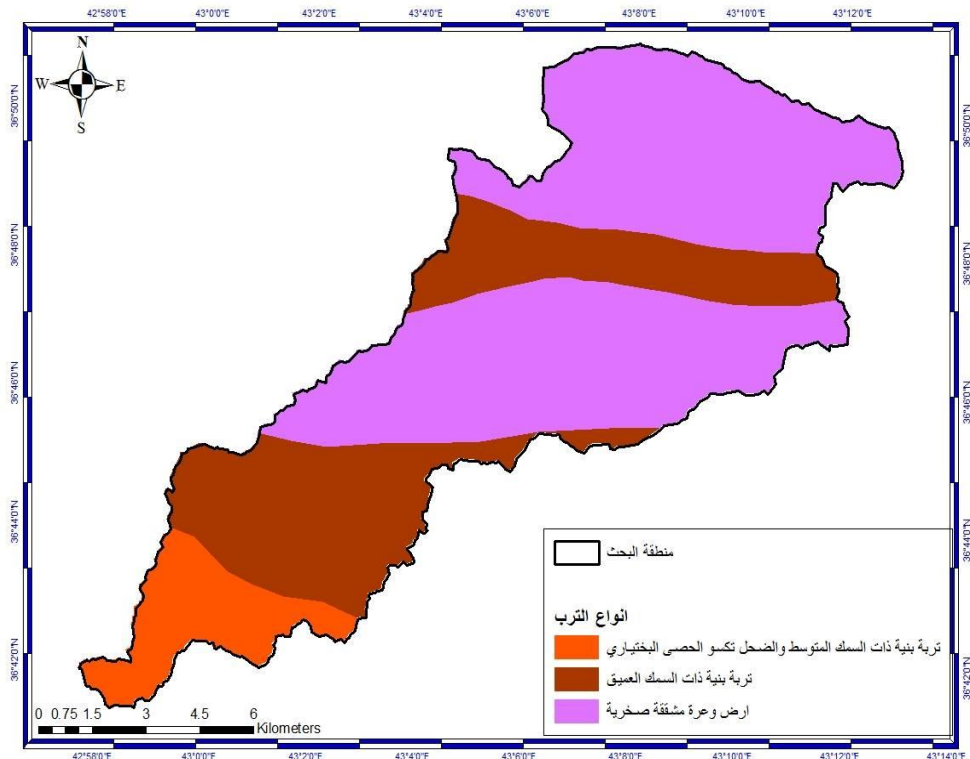
شكل (٥) التضاريس حسب الانحدار (ZINK)
المصدر:- من عمل الباحث باعتماد برنامج Arcgis (١٠.٣) ونموذج الارتفاع الرقمي (DEM)

اما المناخ فتم اعتماد بيانات محطة دهوك المناخية لمدة ٤ - ٢٠١٤ لقربها من منطقة الدراسة جدول (٣)، اذ تبينت كمية الاشعاع الشمسي الوائلة للمنطقة بين الصيف والشتاء وسجلت اعلى ساعات السطوع خلال شهر الصيف حالها حال مناخ المنطقة و العراق (١٢٠٨) ساعة / اليوم (في شهر تموز، و اقلها في شهر كانون الثاني (٤٣٢) ساعة / اليوم) وصاحب ذلك ارتفاع درجات الحرارة في شهر اب باعلى معدل عظمى (٤٠.٥١) واقلها في كانون الثاني (٤٠.٤٤) وهذه المعدلات ساهمت في تباين درجات الحرارة في السفوح المواجهة لأشعة الشمس وبالتالي زيادة العمليات الجيومورفولوجية والتبخّر وقلة الجريان السطحي ، والعكس في مناطق الظل وتكون فرصه اكبر للجريان السطحي وبناء مجاري مائية جديدة وزيادة اطوالها و من ثم زيادة مساحة الاحواض المائية، اما كمية الامطار المستلمة في محطة دهوك فهي مرتبطة بنظام الامطار بالمنطقة التي تزداد فرصه سقوطها شتاء، اذ سجل اعلى مجموع شهري في كانون الثاني بواقع (٩٩ ملم) وتتعدّم خلال الصيف، كما ترتبط الرطوبة النسبية بعلاقة طردياً مع الامطار و عكسياً مع درجات الحرارة و زيادة الاشعاع الشمسي، اذ سجلت المحطة اعلى معدل شهري في كانون الثاني (٦٧.٠٨) ملم، في حين سجل شهر اب اقل كمية (١٣.٣٥ ملم)، اما التربة

دقة التمييز المكاني لنموذج الارتفاع الرقمي وانعكاساتها على
القياسات المورفومترية- حوض بنديبة دراسة حالة

احمد عبد الستار جابر

فقد توّعت في المنطقة بين الترب البنيّة ذات السماكة المتوسطة في جنوب غرب الحوض عند المصب و الترب البنيّة السميكة و العميقه في وسط المنطقة و الترب الوعرة و المشقّة والصخرية في الاقسام الجبلية الوعرة وسط وشمال شرق المنطقة جدول (٤) وشكل (٦) (Buringh, P., ١٩٦٠).



شكل (٦) ترب منطقة الدراسة حسب (Buringh)
المصدر:- من عمل الباحث باعتماد (Buringh, ١٩٦٠) وبرنامج (arcgis, ١٠.٣).

٤. النتائج والمناقشة

من خلال الاطلاع على جدول (٥) الذي يظهر نتائج التحليل المورفومترى لنموذج الارتفاع الرقمي بدقة التمييز (٣٠ و ٩٠)م وبالاعتماد على وسيلة الحساب المورفومترى (Morphometric toolbox v.٢) المطورة من قبل (Beg ٢٠١٥) المنشورة على الموقع ESRI الامريكي، وهي وسيلة مكملة لوسيلة القياسات المورفومترية – ArcGIS Hydrology toolbox)، وعلى هذا الاساس تمت دراسة الحوض بالاعتماد على نموذجي الارتفاع الرقمي (٣٠ و ٩٠)م وعلى اساس حساب المعاملات المورفومترية الاتية(شبكة الصرف والخصائص الشكلية والخصائص النسيجية والخصائص التضاريسية فضلاً عن التحليل الهيدرولوجي).

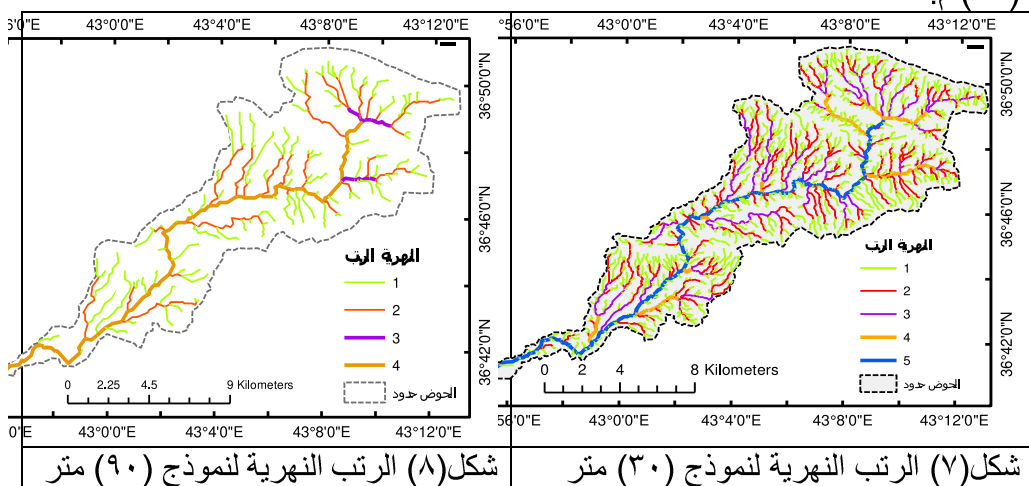
٤.١. معاملات شبكة التصريف Drainage Network Parameters

شبكة الصرف النهرية لاي حوض هي مخرجات للعوامل الطبيعية في المنطقة ومنها خصائص الصخور وشكلها التركيبية و درجة استجابتها للمؤثرات المناخية القديمة و الحالية و تؤثر خصائص الصخور (النفاذية والمسامية و الصلابة) (والانحدار العام للسطح فضلا عن التراكيب من صدوع و فوائل و طيات، في تحديد الشكل العام لروافد الحوض برتبه المختلفة من اعداد و اطوال (محسوب ٢٠٠١) ومن المعاملات المهمة في شبكة الصرف.

- (اعداد و اطوال المراتب النهرية) (Numbers and lengths of StreamOrder)

اذ اعتمد في استخراجها اسلوب (Horton, ١٩٤٥) وتعديلاته من قبل (Strahler, ١٩٥٦

Schumms, ١٩٥٢) الذي ينص على ان المرتبة الاولى التي لا يصب بها اي راfeld، و الثانية التي تتكون من التقاء رافدين من الاولى، و يؤشر ذلك ان المنطقة متضرسة اذا زاد عدد الرتب النهرية و بخلافه فالمنطقة تصبح في مرحلة النضج اي (تعرضت للتآكل اكثر من غيرها). نلاحظ من الجدول (٥) والشكل (٧) الفرق في اعداد و اطوال المراتب النهرية في حوض بنودية لنموذجي الارتفاعي الرقمي ،اذ سجل الحوض اعداد مراتب اجمالي لجميع المراتب (١٠٥٠) وادي، وهو من المرتبة الخامسة في نموذج (٣٠) ، في حين كان الحوض من الدرجة الرابعة و مجموع مراتب اجمالي (١٤٧) في نموذج (٩٠).



شكل(٧) الرتب النهرية لنموذج (٣٠) متر

المصدر: SRTM- DEM- ١ arc second (٣٠ m)

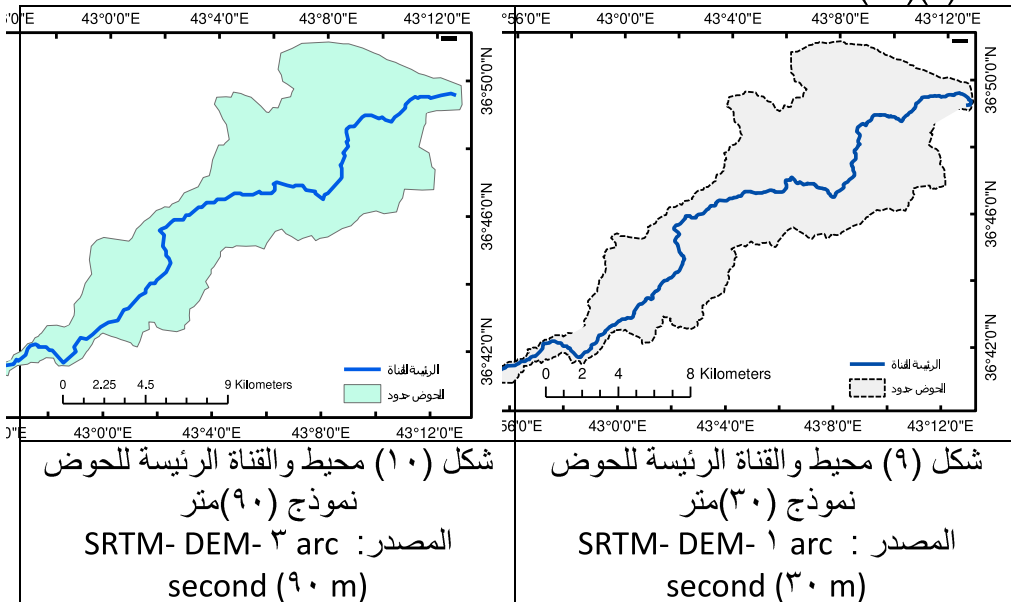
- نسبة التشعب (Bifurcation Ratio Rb) ومعدلاتها لنموذج ٣٠ م (٥.٦٢)

و (٥.٣٨) لنموذج ٩٠ م. سجل الحوض مجموع اطوال في نموذج ٣٠ م (٥٤٥.٩٥٧٠) كم ، و (١٩٩.٧٥٧) كم لنموذج ٩٠ م وهذا الفرق الواضح في الاعداد والاطوال يبين بصورة جلية دقة التمييز المكاني لنفس الحوض وبالتالي يغير التحليل الجيومورفولوجي والهيدرولوجي لهذه الخصائص المورفومترية و يؤشر على ان الحوض معقد في تضاريسه ولازال يتعرض للتآكل و تتحكم فيه التراكيب الجيولوجية لارتفاع نسبية التشعب فيه.

٤. ٢. الخصائص الشكلية للحوض **Geometry Parameters** بالاعتماد على الاشكال الهندسية (المربع والمستطيل وال دائري والمثلث) يتم دراسة الخصائص الشكلية للحاواض والغرض منها لفهم المرحلة الجيومورفولوجية التي وصل لها الحوض و العمليات المشكّلة له و حجم الفيضانات، وطبيعة عمليات التعرية والتربيس وامكانية تحديد الاخطار التي تتعرض لها المنطقة (محسوب ٢٠٠١)، وتحت هذا العنوان يمكن استخلاص (١٦) متغير يتعلّق بشكل ومساحة الحوض بالاعتماد على نموذجي الارتفاع الرقمي ٣٠ م و ٩٠ م وعلى بيانات (SRTM-DEM).

- **مساحة الحوض (Basin Area)**: سجل المساحة الكلية (١٥٣.٥٣) كم٢ و (١٤٩.٤٧) كم٢ على التوالي، والسطحية (١٥٧.٣٢) كم٢ و (١٥٣.٤٠) كم٢ على التوالي لنموذجي الارتفاع الرقمي (٣٠ م و ٩٠ م)، ولكن يوجد زيادة في مساحة الحوض ضمن نموذج ٣٠ م بفارق لا يتجاوز ثلث كم.

- **محيط الحوض (Basin perimeter)**: الذي يمثل خط تقسيم المياه للحوض عن بقية الاحواض، وكانت الزيادة في محيط الحوض بفارق ١.٠ كم اذ سجل نموذج ٣٠ (٩٢.٦) كم و نموذج ٩٠ (٨٢.٧) كم، وهذا يعني زيادة في المساحة الحوضية، وبالتالي زيادة في التصريف، فضلاً عن علاقته بالخصائص الشكلية من شكل الحوض واستطالته واستدارته، شكل (٩).



- **طول الحوض Lb (Length Basin)**: لم يكن الفرق كبير بين النماذجين اذ كانت ٣١ كم في نموذج ٣٠ و ٣٠ في نموذج ٩٠ م، في حين زاد الفرق بينهم بالنسبة للقناة الرئيسية للحوض بفارق ٤ كم، وهذا يدخل في قياسات مورفومترية عده وبالتالي التحليل الجيومورفولوجي والهيدرولوجي للحوض.

- نسبة المطابقة Rf : (Fitness ratio)

هي نسبة طول القناة الرئيسية الى طول المحيط و هو مقياس طبوغرافي حسب (Melton ١٩٥٧) و (Hajam et al ٢٠١٣) ويستخرج من المعادلة: $Rf = Lc/P$ ، حيث Lc نسبة التطابق، P محيط الحوض، اذ سجل الحوض تقارب في النسب (٤٥.٠٠) و (٤٦.٠٠) على التوالي لنموذجي ٣٠ و ٩٠ م.

- معامل الشكل او معامل الهيئة Ff : (Form Factor): يوضح النسبة بين مساحة الحوض على مربع طول الحوض، و يدل انخفاض المعامل على الامتداد الطولي و قلة المساحة بالنسبة لطوله اي يكون اقرب الى المثلث حسب (محسوب ٢٠٠١) كانت النتائج متقاربة جدا لنموذجي الارتفاع الرقمي (١٥٨.٠٠) و (١٦.٠٠) على التوالي ٣٠ و ٩٠ م وهذا يؤشر ان الحوض طولي الشكل حسب (Pareta and Pareta, ٢٠١١) و عليه يمكن التنبؤ بالجريان السطحي وفرصة حدوث الفيضانات ويمكن استخراجه من المعادلة الآتية: $Ff = A/Lp^2$ حيث A مساحة الحوض، Lp طول الحوض من شبكة الصرف، 2 يمثل مربع طول الحوض.

- نسبة معامل الشكل Sf : (Shape Factor Ratio Sf): هي عكس معامل الشكل في النتائج اي كلما قلت كلما اقتربت من الشكل الدائري واذا ازداد كان طولي، وهو نسبة مربع طول الحوض الى مساحة الحوض (Strahler ١٩٦٤) وهي ايضاً متقاربة جداً (٦.٣١) و (٦.١) في النموذجين على التوالي.

- المحيط النسبي Rp : (Relative perimeter) استخرج حسب (Schumm ١٩٥٦). من قسمة مساحة الحوض الى محيط الحوض $Rp = A/P$ اذ A مساحة الحوض و P محيط الحوض و كانت متقاربة (١.٦٤) و (١.٨٠) على التوالي .

- علاقه الطول بالمساحة Lar : (Length Area Relation) : يستخرج حسب (Hack ١٩٥٧, Pareta and Pareta, ٢٠١١) من المعادلة

$Lar = 1.4 \times A^{0.6}$ تمثل A مساحة الحوض و (٠.٦) ثابت متقاربه جداً ايضاً (٢٨.٥٨) و (٢٨.٢٤) على التوالي في النموذجين .

- معامل التكوير R c : (Rotundity coefficient) استخرج حسب المعادلة (Strahler ١٩٦٤ Zavoianu ١٩٨٥،

$Rc = Lb^{0.2} \times (\pi/4A)$ حيث A مساحة الحوض و Lb طول الحوض و يكون اقرب الى الدائري او شبه الدائري كلما اقترب الناتج من الواحد الصحيح و اذا زادت قيمته ١.٢٧ فانه يكون مربع اما في حال وصلت الى (١٥-١٠) يكون مستطيل او ب، ومن خلال الجدول (٥) نجد تقارب جداً في القيم (٤.٩٥) و (٤.٨١) على التوالي في نموذجي ٣٠ و ٩٠ م وكلاهما يشيران الى استطالله الحوض.

- **نسيج التصريف (Dt Drainage Texture):** وفق (Horton ١٩٤٥) هي مجموع اعداد الرتب النهرية الى محيط الحوض ، $Dt = Nu/P$ ، حيث $Dt = Nu/t$ نسيج الصرف، Nu اعداد الرتب النهرية ، P محيط الحوض، وقد صنفت حسب (Smith ١٩٥٠) الى خمس فئات تعتمد على الصخور و المناخ و الانحدار و النباتات و نوع التربة، تتراوح بين الخشن جدا (اقل من ٢) والمعتدلة من (٤ - ٦) والناعمة جدا اكثرا من (٨) ولوحظ ان الحوض في بيانات النموذجين ذو نسجة (ناعمة جدا في ٣٠ م) (خشن جدا في ٣٠ م) وهذا يظهر التباين الواضح في الدقة التمييزية المكانية في النموذجين وما يترتب عليه من تحليل وتفسير جيومورفولوجي وهيدرولوجي في نفس الوقت.

- **متوسط عرض الحوض (Wb):** يمكن الحصول عليه من حاصل قسمة المساحة على طول الحوض (محسوب ٢٠٠١)، ويمكن استخراجه من معادلة (Horton ١٩٣٢) $Wb = A/Lb$ حيث A المساحة و Lb طول الحوض ، ويرجع تباين العرض الى خصائص الحوض الطبيعية من انحدار و طبيعة الصخور ونوعية المناخ ، وكانت النتائج متطابقة في النموذجين تقريبا (٤.٩١) و (٤.٩٤) للنموذجين على التوالي

- **معامل الاندماج او معامل التماسك (Compactness coefficient Cc):** ويستخرج من قسمة محيط الحوض على محيط دائرة لها نفس مساحة الحوض والقيم المنخفضة تدل على تقدم الحوض في تطوره الجيومورفولوجي وقلة الانحدار والعكس من ارتفاع القيم تدل على عدم تناسب محيط الحوض وابتعاده عن الشكل المستدير (محسوب ٢٠٠١)، وتحسب (Horton ١٩٤٥) من المعادلة: $Cc = ٠.٢٨٢ \times p / \pi A$ ، اذ $Cc = ٠.٢٨٢ \times p / \pi A$

ثبتت، p محيط الحوض ، A مساحة الحوض، وسجل الحوض قيمًا متباعدة في نموذج الارتفاع الرقمي ٣٠ م و ٩٠ م بواقع (٢.١٣٩) و (١.٩٢) على التوالي ، اذ كانت في نموذج ٣٠ م مترافق نسبيا تدل على عدم تناسب محيط الحوض وابتعاده عن الشكل المستدير ، في حين ان النموذج ٩٠ م يشير الى قلة تعرج محطيها و تقدمها في الدورة التحتائية.

- **نسبة الاستدارة (Circularity Ratio Rc):** وهي النسبة بين مساحة الحوض الى مساحة دائرة لها نفس محيط الحوض ، عند اقتراب قيم نسبة الاستدارة من الواحد الصحيح تشير الى اقترابه من الشكل المستدير وتقدم الحوض في دورته التحتائية و زيادة عمليات الحت الراسي (محسوب ٢٠٠١) ويمكن الحصول عليها من المعادلة الآتية:

$Rc = ٤A\pi / P^٢$ وتمثل Rc معدل الاستدارة، ٤ ثابت p محيط الحوض A مساحة الحوض ، و سجل في نموذجي الارتفاع الرقمي (٠.٢٧) و (٠.٢٢) على التوالي وهما بذلك بعيدان عن الشكل الدائري المنتظم مع تعرج محطيه ، مما يؤشر على طول القنوات المائية و بالتحديد القريبة من مناطق تقسيم المياه (المحيط) للرتب الاولى و الثانية.

- **نسبة الاستطالبة (Elongation Ratio Re):** حسب (Schumm, ١٩٥٦) لتحديد استطالبة الحوض او اقترابه من الشكل المستطيل او ابتعاده عنه، من خلال قسمة طول قطر دائرة مساحتها تساوي مساحة الحوض الى اقصى طول للحوض، وحسب

(١١) يمكن تصنيف استطالة الحوض بين (١٠-٥٠)، اذا كانت (Pareta, ٢٠١١) شديدة الاستطالة، (٥٠.٧٠.٥) طويل، (٠.٨٠.٧) قليل الطول ،(٠.٩٠.٨) بيضوي، (٠.٩٠.٩) دائري، ومن جدول (٥) وشكل (٦) نلاحظ ان نسبة الطول في كلا النموذجين ٣٠ م و ٩٠ م كانت قريبة من الصفر (٤٤.٠) و (٤٥.٠) على التوالي ، وتسخراج من المعادلة التي اقترحاها (Zavoianu, ١٩٨٥) الآتية: $Re = 1.129 \times \sqrt{A} / Lb$ ، حيث Re معدل الاستطالة، Lb طول الحوض ، A المساحة ، ثابت 1.129 ويستدل منها ان الحوض اقرب الى الاستطالة وقلة تصريفه وضعف الناتج الرسوبي له، ومتطابق مع بقية المعاملات الشكلية التي تشير الى ابعاد الحوض عن الشكل الدائري المنتظم.

٤. ٣. تحليل الخصائص النسيجية (Drainage Texture Analysis) و تشمل الخصائص الآتية :

- كثافة التصريف (Drainage Density Dd) حسب (Horton, ١٩٤٥) تحسب من خلال قسمة اطوال المجاري المائية للحوض الكلية على مساحة الحوض $Dd = Lu/A$ ، A تمثل مساحة حوض الصرف، Lu هو طول المجاري الكلي لشبكة التصريف، و هو مؤشر على خصائص المنطقة من (نفاذية التربة والانحدار ونوعية المناخ والنبات الطبيعي) التي تحكم بهذه الكثافة وتباينها من منطقة الى اخرى، كما ان الكثافة العالية تشير الى مخاطر الفيضان ،في حين ان النفاذية العالية وقلة التساقط وقلة الانحدار تزيد من معامل الترشح وقلة الجريان السطحي. وفي حوض بندوية ومن الجدول (٥) نلاحظ ان النسب متباعدة جدا في الكثافة بين النموذجين ، وبالتالي تباين التحليل الهيدروجيومورفولوجي لهما ،اذ كانت النتائج (٣.٣) و (١.٣٣) كم /كم ٢ لنموذج ٣٠ م و ٩٠ م وهذا يوضح الفرق بين اعداد المراتب لكلا النموذجين وبالتالي اطولهما، اما كثافة الصرف المعدلة التي تم حسابها بالاعتماد على المساحة السطحية للاحواض فهي قريبة من المساحة المستوية ،اذ سجلت (٣.٤٧) و (١.٣٠) كم/كم ٢ هي بذلك توضح دقة التمييز المكاني لنموذج الارتفاع الرقمي .

- التكرار النهر (F Stream frequency) و هو العلاقة بين اعداد المراتب النهرية والمساحة (محسوب ٢٠٠١)، $F = Nu / A$ اذ F التكرار النهي و Nu المساحة و A المساحة اعداد المراتب الكلي، ويوضح طبيعة المنطقة من ناحية التركيب الجيولوجي والغطاء النباتي ومدى نفاذية التربة، فضلا عن الشدة المطرية و كمية الامطار الساقطة على المنطقة، وفي الحوض سجل التكرار النهي (الكثافة العددية) (٦.٨٨) و (٠.٩٨) مجرى/كم ٢ وهذا فرق واسع بين النماذج (٣٠ و ٩٠) م يدل على تباين الدقة التمييزية المكانية الواضحة ، اما الكثافة المعدلة على المساحة السطحية فهي قريبة من النتائج السابقة اذ كانت (٦.٧٦) و (٠.٧٥) مجرى/كم ٢.

- معدل بقاء المجرى او (معامل صيانة المجرى) (Ccm Constant of channel)، مؤشر اعتمد ، $Ccm = \frac{\text{مساحة الماء}}{\text{مساحة الماء المطلوبة لتغذية}} \cdot 100$ لقياس المساحة المطلوبة لتغذية كم ٢ من طول ويمكن الحصول عليه من قسمة جميع اطوال المراتب على مساحة الحوض وكانت النتائج في الحوض (٠.٢٧) و (٠.٧٤) كم/كم في النموذجين (٣٠ و ٩٠) م على التوالي و ايضا سجل المعامل المعدل على المساحة السطحية قيم قريبة جدا من النتائج

الاصلية بواقع (٢٨.٠٠) كم/كم على التوالي و هي نتائج تشير الى طبيعة المنطقة ومنها المناخ والانحدار و نوعية الصخور و كثافة الغطاء النباتي و التي تمثل بينة واحدة للحوض ولكن الدقة التمييز المكاني لنموذجي الارتفاع الرقمي اظهر هذا التباين في المعامل .

- رقم الترشيج (Infiltration Number Ifn) وفق (Satish and Vajrappa ٢٠١٤)

ومعادلته: $Ifn = F \times Dd$ عدد الترشيج، Dd كثافة الصرف، F التكرار النهري، اي نتاج حاصل ضرب كثافة الصرف بالتكرار النهري اذ كلما زاد العدد يدل على تسرب اقل و ارتفاع الجريان السطحي وبخلافه العكس صحيح، سجل حوض بنديوية عدد ترشيج فيه تباين واسع جدا بين النموذجين للارتفاع الرقمي (٣٠ و ٩٠)م، اذ كان (٢٤.٦٣) و (١.٣١) على التوالي وهذا الفرق بين الرقمين دليل اخر على دقة التمييز المكانيّة العالية، وبالتالي يمكن من خلاله تحليل هذه الارقام تارة على انها ذات جريان سطحي اعلى في النموذج الاول (٣٠ م) في حين تشير قيمة العدد الى قلة الجريان في نموذج (٩٠ م)، بينما سجلت القيمة المعدلة نتائج مقاربة للنتائج السابقة لكلا النموذجين بواقع (٢٣.١٦) و (٠.٧٣) .

- شدة التصريف (Drainage Intensity Di) يرتبط هذا المعامل بكل من التكرار النهري و كثافة الصرف و يمثل النسبة بين التكرار النهري الى كثافة الصرف حسب (Pareta ٢٠١١) $Di = F/Dd$: حيث Di شدة التصريف، F التكرار النهري، Dd كثافة الصرف ، ومن خلال الدراسة ظهر ان الحوض في نموذجي الارتفاع الرقمي فيه تباين ايضا في هذا المعامل اكثر من ضعف العدد، اذ سجل (١.٩٢) لنموذج (٣٠)م و (٠.٧٣) لنموذج (٩٠ م) ، وهذا يؤشر جريان اعلى في نموذج (٣٠ م) وشدة جريان كبيرة لانحدار المنطقة، وبالتالي تعرضها للتعرية الصخور و التربة .

- متوسط طول الجريان السطحي (Average Length of Overland Flow Lg)

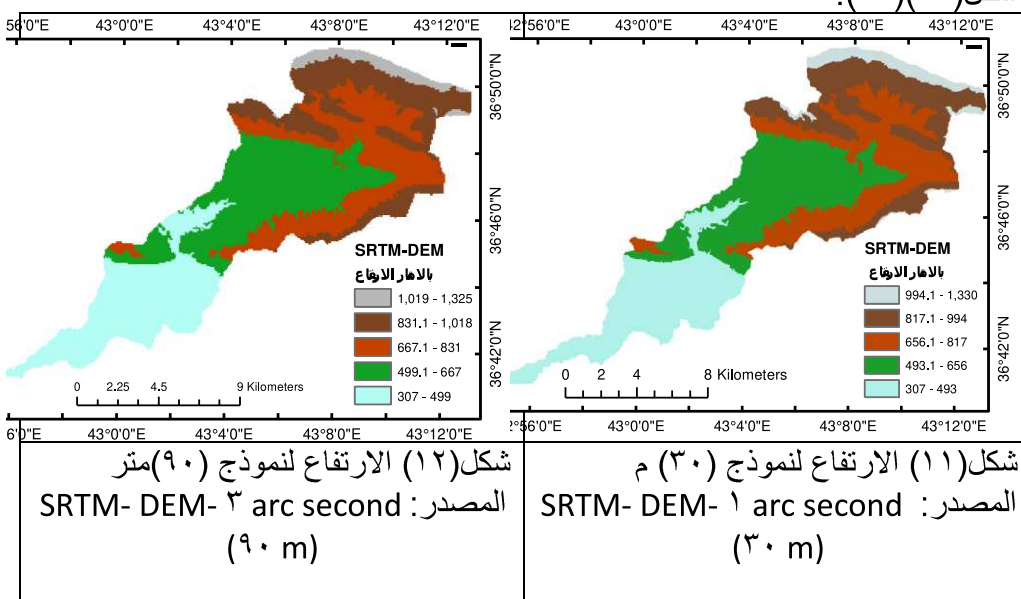
حسب (١٩٤٥) . هي امتداد المياه في الجريان السطحي قبل تركزها في فنوات الجريان، و يساوي نصف كثافة الصرف و تشير النسبة التي تصل التي تقل عن (٠.٢) كم الى مسارات قصيرة وانحدار اشد وقلة التسرب، اما اذا كانت (٢.٣٠) اندار وتسرب وجريان معتدل اما اذا اكثـر من (٣.٠) يـعد مسار تدفق طـولـي مع زـيـادـة التـسـرب وـقلـةـ الجـريـانـ السـطـحـيـ وـيمـكـنـ استـخـراـجـ قـيـمـتـهـ حـسـبـ معـادـلـةـ (Horton ١٩٤٥)

$Lg = 1/2 \times Dd$ ، حيث ان Lg متوسط طول الجريان السطحي ب(كم)، Dd كثافة الصرف سجل الحوض متوسط طول (٠.٣١) لنموذج (٣٠ م) و (٠.٣٧) لنموذج (٩٠ م) ، وهذا يؤشر على قصر طول المجرى و الشدة الجريان في النموذج الاول و قلت الجريان مع زيادة التصريف في النموذج الثاني وبالتالي تغيير الخصائص الهيدرولوجية لتصنيف الهواء .

٤. تحليل الخصائص التضاريسية **Basin Relief** و تعد انعكاسا لزيادة فعالية ونشاط عمليات التعرية واثرها في تشكيل مظاهر السطح ،فضلا عن نوعية الصخور و خصائصها الفيزيائية و الكيميائية (محسوب ٢٠٠١) و من خلالها يمكن معرفة الخصائص الطبوغرافية

للحوض و من ثم درجة الانحدار و اثارها على مناطق تقسيم المياه وفهم تطور الشبكة المائية فضلا عن فهم مرحلة الحوض العمرية و التي يمكن ايجاز اهمها :

-ارتفاع مخرج الحوض (**Height of Basin outlet m**): ويمثل اقل ارتفاع في الحوض و غالبا ما يكون مصبات الاحواض، في حوض بندوبيه تم اعتماد نموذج الارتفاع الرقمي DEM للحصول على (اعلى واقل نقاط الارتفاع) وتبيّن ان النقطة (٣٠٧) م في مصب الحوض في الجنوب الشرقي هي الاقل للنموذجين اي متطابقة تماما ، شكل(١١)(١٢).



- أعلى ارتفاع للوحض (**Maximum Height of basin m**) : وتمثل أعلى مناطق محيط الحوض (مناطق تقسيم المياه) او منابع الحوض، اذ سجل (١٣٣٠) م في نموذج (٣٠) م و (١٣٢٥) م في نموذج (٩٠) م عند الاجزاء الشمالية الشرقية للوحض، بفارق ٢٥ متر لصالح نموذج (٣٠) م و هي زیاده مؤثرة جدا في التحليل الجيومورفولوجي والهیدرولوجي للوحض .

- تضرس الحوض الكلي (**Total Basin Relief H**): وهو الفرق بين أعلى و أقل منسوب للوحض (سلامة ٢٠٠٧) و سجل في حوض بندوبيه (١٠٢٣) م و (١٠١٨) م للنموذجين (٣٠ و ٩٠) م على التوالي.

- نسبة التضرس: حسب (**Schumm**) حسب $Rhl = H/Lb$ ، H نسبة التضرس، Lb تضرس الحوض الكلي، Lb طول الحوض (كم) ، تتناسب قيمة هذه النسبة مع درجة التضرس الكلية للوحض طرديا ، ويمكن الحصول على نسب التضرس من قسم تضاريس الحوض (الفرق بين أعلى وادنى نقطه) على طول الحوض (محسوب ٢٠٠١) ومن خلال هذه النسبة بالامكان استنباط مرحلة عمر الحوض، اذ تدل القيم الدنيا على نشاط عمليات التعرية و التراجع نحو المنبع و تقدم الحوض في دورته الحتية، و العكس تشير الى تضرس الحوض و شبابه و تاخر في دورته الحتية (ابوريه ٢٠٠٧) و من الجدول (٥)

سجل الحوض (٣٢٠٠٠٣٣) لنموذجي الارتفاع الرقمي، وهي نسبة متقاربة جداً تدل على تقدم الحوض في دورته الحتية بصورة عامة ونشاط عمليات التعرية و زيادة كميات الرواسب لتضليل الحوض .

- **نسبة التضليل النسبية (Relative Relief Ratio):** تدل القيم المنخفضة لهذه النسب على ضعف مقاومة الصخور و نشاط عوامل التعرية في الحوض عند ثبات المناخ، ويمكن الحصول عليها من خلال قسمة تضاريس الحوض على محيطه مضروباً في (١٠) (محسوب ٢٠٠١) اولى المعادلة الآتية $Rhp = H * 100 / P$ التي اقترحها (Melton ١٩٥٧) حيث Rhp يمثل التضاريس النسبية، H فرق الارتفاع (كم)، P محيط الحوض (كم)، وكانت هذه النسبة (٤٠١) و (٣٣٠) في النموذجين على التوالي و هي نسبة منخفضة تؤكد نشاط عمليات التعرية في الحوض و ضعف مقاومة الصخور وتقدم الحوض في دورته الحتية .
- **نسبة التدرج (Gradient Ratio):** هو مؤشر على انحدار القناة المائية، الذي يتيح تقدير الجريان السطحي وفق (٢٠١١) (Pareta and Pareta) استخرجت هذه النسب من المعادلة: $Rg = Rg = (Z-z) / Lb$ اذ Rg نسبة التدرج، $(Z-z)$ أعلى وأدنى قيمة(م)، Lb طول الحوض(كم)، كانت هذه النسبة (٣٢٠٠٠٣٣) و (٣٣٠) لنموذجي (٣٠ و ٩٠) م على التوالي وهي متقاربة للنموذجين وتدل على تشابه الظروف الجيولوجية و المناخية للحوض.
- **عدد الوعورة (Ruggedness Number):** هذا المعامل يوضح العلاقة بين تضرس سطح ارض الحوض و اطوال مجاري شبكة التصريف فيه، اي نتائج كثافة الصرف مع تضرس الحوض (الدليمي ٢٠١٧) و يمكن الحصول على هذا المؤشر من المعادلة التي اقترحها (Strahler ١٩٦٤): $Rn = Dd * (H / 1000)$ ، حيث Rn قيمة Rn حيث Dd كثافة الوعورة، H فرق الارتفاع بين أعلى وأدنى نقطة في الحوض(كم)، Dd كثافة التصريف، و ظهر من الجدول (٥) ان عدد الوعورة (٦٦.٣) و (٣٦.١) للنموذجين على التوالي (٩٠ و ٣٠) م و الفارق كبير بين العدين و هذا يؤكد زيادة تضليل الحوض في النموذج (٣٠) م و فلتة في نموذج (٩٠) لارتباط هذا المعامل بالكثافة التصريفية التي بدورها تعتمد على اطوال و اعداد المرتفع النهرية والتي تبينت بين النموذجين بصورة كبيرة وواضحة تبعاً لدقة التمييز المكاني لنموذجي الارتفاع الرقمي .
- **عدد ميلتون للوعورة (Melton Ruggedness Number):** (ميلتون ١٩٦٥) مؤشر يوضح تضليل الحوض من خلال صلابة التضاريس داخل الحوض النهرى، ويمكن الحصول عليه من المعادله الآتية (Pareta and Pareta ٢٠١١)
$$MRn = H / A$$

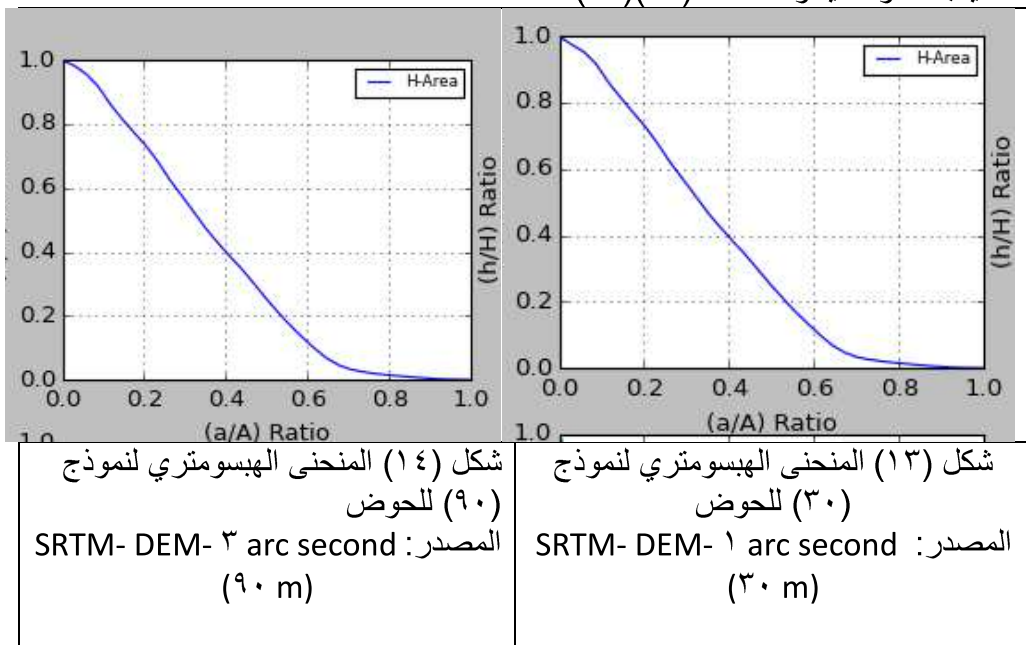
$$0.5 \cdot MRn = H / A$$
 وسجل الحوض عدد (٨٣.٢٦) و (٨٣.٨٣) لنموذجي الارتفاع الرقمي (٩٠ و ٣٠) م على التوالي و كلاهما متقاربان في النتائج فضلاً عن عدد ميلتون المعدل بحساب المساحة السطحية بدل المساحة المستوية اذ بلغ عدد ميلتون (٦٥.١٨)

و(٨٢.١٩) على التوالى وهو عدد متقارب مع النتائج السابقة لتشابه قياس الارتفاعات والمساحة في كلا النماذجين.

- مؤشر تموج التضاريس: **Terrain Undulation Index**: بالاعتماد على (Beg، ٢٠١٥) وهو مؤشر يمثل النسبة بين المساحة السطحية الى المساحة المستوية للحوض فكلما ابتعدت قيمته عن الواحد الصحيح يدل على ان الحوض يتميز بتموج عالي التضاريس و يستخرج من المعادلة الآتية: $TUI = As/A$ ، حيث TUI مؤشر التموج، As مساحة الحوض، A المساحة السطحية للحوض و من الجدول (٥) يظهر ان مؤشر التموج للحوض (١٠٣) ولنموذج الارتفاع (٣٠ و ٩٠) م على التوالى.

٤. التحليل الهيسومترى : يعد التحليل الهيسومترى من الادوات المهمة في دراسة احواض الانهار والاوedio (الدليمي ٢٠١٧) و من اكثر الطرق شيوعا في هذا التحليل

- المنحنى الهيسومترى **curve Hypsometric** ويعتمد على العلاقة النسبية بين المساحات المحصورة بين الخطوط الكنتورية و ارتفاع تلك المساحات، فإذا كان المنحنى مقوسا الى الاعلى يدل على شباب الحوض و اذا كان مقعرنا نحو الاسفل يشير للنضوج او الاتجاه نحو الشيخوخة (الدليمي ٢٠١٧) وبالاعتماد على نماذج الارتفاع الرقمي (٣٠ و ٩٠) م يظهر ان الحوض في المنحنى للنموذجين يشيران لمرحلة النضج و يتوجه نحو الشيخوخة، شكل(١٣)(١٤)



-**التكامل الهيسومترى Integral Hypsometric** وهو مقياس اخر يظهر المدة الزمنية التي قطعها الحوض و يعبر عن العلاقة بين مساحة الحوض و تضاريسه ، وتشير القيم المرئعة الى زيادة مساحة احواض التصريف وانخفاض تضرسها ، وهذا يفسر التقدم العمري لهذه الاحواض (ابو العينين ١٩٩٥) و بالاعتماد على نتائج التحليل الهيسومترى باستخدام وسيلة morphometric toolbox بلغت قيمة التكامل الهيسومترى في حوض

بندوية (٣٤.٨) في نموذج ٣٠ م و (٣٥.٧) في نموذج ٩٠ م، و عليه يتوجه الحوض نحو النضج المبكر و الشيخوخة و التباين في النموذجين طفيف جدا

٥. الاستنتاجات

توصلت الدراسة الى جملة استنتاجات وهي كما ياتي:-

أ. تباين واضح وكبير في اعداد واطوال ومحيط ونسب تشعب المراتب النهرية بين النموذجين (٣٠ و ٩٠ م) للارتفاع الرقمي .

ب. لم يظهر تباين كبير في القيم المساحية المستوية و السطحية والشكلية للحوض (الاستدارة والاستطالة والتقوير) للنموذجين، وكذلك الحال مع المنحنى والتكامل الهيسومترى الذى يعتمد على المساحة و الارتفاع.

ت. ظهور تباين واضح وكبير في الخصائص النسيجية (كتافه الصرف وشدته و معامل الصيانة و عدد الترشيح و الجريان السطحي) للنموذجين و ذلك لاعتمادها على اعداد و اطوال المجرى المائى.

ث. ظهور تباين في بعض معاملات التضرس مثل (معامل عدد الوعورة و ميلتون) في حين كانت بقية المعاملات متقاربة النتائج .

ج. ان التباين الواضح والكبير في المعاملات التي تعتمد على اعداد واطوال المراتب و محيط الحوض لها دلالاتها الجيومورفولوجية و الهيدرولوجية و الجيولوجية وبالتالي التأثير في اتخاذ اي قرار في بناء صورة للتقدير الاراضي وبالتالي تحديد الاستخدام الامثل لهذه الاحواض او المناطق.

Abstract**Spatial resolution of Digital Elevation Model and its impact on the morphometric measurements- Pendawi basin a case study****By Ahmed Abdul Sattar Jabir**

The efficiency of morphometric analysis of basins depends on the accuracy of the used data and analysis technique. The Penduya basin which lies in northern Iraq was selected because it is one of the small basins with an area of about ١٥٧.٣٢ square kilometres. The morphometric analysis can be repeated several times for the purpose of comparing the variation in the morphometric features. The current study aims at analysing the morphometric measurements in the Penduya basin by adopting typical spatial resolution of the digital elevation models i.e., (٣٠ and ٩٠ meters). The analysis was carried out by adopting the GIS technique and its modifications in the field of morphometric analysis, i.e., morphometric toolbox, to check which of the morphometric parameters will be affected more than the others and their impact on the development and planning in the region. The results have shown that most of the morphometric parameters of the basin, which are related to the number, length and density of the drainage lines, have a clear and significant difference in the value of these parameters. The morphometric measurements calculated using the digital height model (٣٠) meters (١ arc second) values differ from those calculated based on the DEM of (٩٠) meters (٣ arc second). The results show that, the measurements from the first model (٣٠ meter) show an increase in the number of drainage lines, their lengths and basin perimeter by up to five times in comparison with the second model (٩٠ meter) by various values for the other geometric and areal measurements. The results of the study have shown that the digital height data should be selected according to the required morphometric details.

الهوامش

^١ <http://www.arcgis.com/home/item.html?id=7af425da1853487f8e2c9b39622387de8>

المصادر

- ١- ابو العينين ، حسن سيد احمد، اصول الجيومورفولوجيا ، مؤسسة الثقافة الجامعية ، الاسكندرية ، ط ١١ ، ١٩٩٥ .
- ٢- أبو رية، أحمد محمد أحمد، المنطقة الممتدة فيما بين القصیر ومرسى أم غیج (دراسة جیومورفولوجیة)، أطروحة دكتوراه، كلية الآداب- جامعة الإسكندرية، ٢٠٠٧، ص ٥٠-٤٦ .
- ٣- الدليمي ، خلف حسين ، علم الاشكال الارضية (الجيومورفولوجيا التطبيقية) ، دارصفاء للنشر والتوزيع ، ط ١، عمان ، ٢٠١٢ .
- ٤- الدليمي.خلف حسين، الانهار (دراسة جیوهیدرومو فرمتریہ تطبیقیہ)، دارصفاء للنشر والتوزيع ، ط ١، عمان ، ٢٠١٧ .
- ٥- رقیة احمد محمد أمین العانی ، جیومورفولوجیہ سهل السندي ، اطروحة دكتوراه (غير منشورة) ، جامعة الموصل ، كلية التربية ، ٢٠١٠ ، ص ٦٤ .

- ٦- سلامة ، حسن رمضان ، اصول الجيومورفولوجيا ، دار المسيرة للنشر والتوزيع والطباعة ، ط ٢ ، ٢٠٠٧.
- ٧- الشايك ، زهير ، مجلة الجيولوجيا والتدين العراقية ، جيولوجية نطاق الطيات العالية في العراق ، عدد خاص ، رقم ٦ ، ٢٠١٤ .
- ٨- محسوب، محمد صبري،جيومورفولوجية الأشكال الأرضية، القاهرة، دار الفكر العربي ، ط١، ٢٠٠١،ص ٢٠٢-٢٠٣.
- ٩- إقليم كردستان العراق ، وزارة النقل والمواصلات ، الهيئة العامة للأثواء الجوية والرصد الزلزالي ، قسم المناخ ، بيانات عناصر المناخ ، بيانات غير منشورة دهوك (٢٠١١ - ٢٠٠٠) .
١. Basavarajappa, H., K. Pushpavathi & M. Manjunatha (٢٠١٥) Morphometric Analysis on Precambrian Rocks In Part of Cauvery Basin, Chamarajanagar District, Karnataka, India, Using Geomatics Technique. Journal Impact Factor, ٦, ٩٧-١١٢.
٢. Beg, A. A. F. (٢٠١٥) Morphometric Toolbox: A New Technique in Basin Morphometric Analysis Using ArcGIS (Pages ٢١-٣٠). Global Journal of Earth Science and Engineering ٢, ٢١-٣٠.
٣. Beg, A. A. F. ٢٠١٥. ArcGIS -Morphometric toolbox, available at : <http://www.arcgis.com/home/item.html?id=7af420da1803487f&e2c9b3963387de>.
٤. Buringh, P.,(١٩٦٠). Soils and Soil Conditions in Iraq, Republic of Iraq, Ministry of Agriculture, Directorate general of agricultural research and projects .Baghdad
٥. Chandrashekhar, H., K. Lokesh, M. Sameena & G. Ranganna (٢٠١٥) GIS-Based Morphometric Analysis of Two Reservoir Catchments of Arkavati River, Ramanagaram District, Karnataka. Aquatic Procedia, ٤, ١٣٤٥-١٣٥٣.
٦. Hack, J. T. ١٩٥٧. Studies of longitudinal stream profiles in Virginia and Maryland.
٧. Hajam, R. A., A. Hamid & S. Bhat (٢٠١٣) Application of Morphometric Analysis for Geo-Hydrological Studies Using Geo-Spatial Technology-A Case Study of Vishav Drainage Basin. Hydrology: Current Research.
٨. Horton, R. E. (١٩٣٢) Drainage-basin characteristics. Eos, Transactions American Geophysical Union, ١٣, ٣٥٠-٣٦١.
٩. Horton, R. E. (١٩٤٥). Erosional development of streams and their drainage basins; hydrophysical approach to quantitative morphology. Geological society of America bulletin, ٥٦, ٢٧٥-٣٧٠.
١٠. Melton, M. A. ١٩٥٧. An analysis of the relations among elements of climate, surface properties, and geomorphology. DTIC Document.
١١. Miller, V. C. (١٩٥٣) A Quantitative geomorphic study of drainage basin characteristics in the Clinch Mountain area Virginia and Tennessee.
١٢. Pareta, K. & U. Pareta (٢٠١١) Quantitative morphometric analysis of a watershed of Yamuna basin, India using ASTER (DEM) data and GIS. International Journal of Geomatics and Geosciences, ٢, ٢٤٨-٢٦٩.
١٣. Satish, K. & H. Vajrappa (٢٠١٤) Morphological Parameter Estimation Derived From ASTER DEM Using GIS and Remote Sensing Techniques. International Journal of Research, ١, ١٩٥٩-١٩٦٧.
١٤. Schumm, S. A. (١٩٥٦) Evolution of drainage systems and slopes in badlands at Perth Amboy, New Jersey. Geological society of America bulletin, ٦٧, ٥٩٧-٦٤٦.
١٥. Smith, K. G. (١٩٥٠) Standards for grading texture of erosional topography. American Journal of Science, ٢٤٨, ٦٥٥-٦٦٨.
١٦. Strahler, A. N. (١٩٦٤) Quantitative geomorphology of drainage basin and channel networks. Handbook of applied hydrology.

١٧. Strahler, A. N. (١٩٥٢b) Hypsometric (area-altitude) analysis of erosional topography. Geological Society of America Bulletin, ٦٣, ١١١٧-١١٤٢.
١٨. Strahler, A. N. (١٩٥٧) . Quantitative analysis of watershed geomorphology. Transactions of the American geophysical Union, ٣٨, ٩١٣-٩٢٠.
١٩. Strahler, A. N. (١٩٥٢a) Dynamic basis of geomorphology. Geological Society of America Bulletin, ٦٣, ٩٢٣-٩٣٨.
٢٠. Zavoianu, I. ١٩٨٥. Morphometry of drainage basins. Elsevier.
٢١. - ٢-Global Weather Data for SWAT

جدول (١) المكافف الصخرية في منطقة الدراسة

نوع التكوين	مساحة(كم²)	نسبة مئوية %	درجة المقاومة
جركس	٢٥.٣١	١٦.٥٩	ضعيفة
فتحة العضو الغنوبي	٤.٣٦	٢.٨٥	ضعيفة
مقدادية	٥.٣٢	٣.٤٨	ضعيفة
الترفة المتبقية	١٩.٦٦	١٢.٨٨	ضعيفة
ترسبات المنحدرات	٢٣.٧٨	١٥.٥٩	ضعيفة
انجابة	٨.٨	٥.٧٦	ضعيفة
فتحة غير متمايز	١٤.٥١	٩.٥١	ضعيفة
بيلاسببي	٤٤.١٢	٢٨.٩٢	قوي جدا
كولوش	٦.٦٤	٤.٣٥	قوي
المجموع	١٥٢.٥٣	١٠٠	

المصدر: من عمل الباحث باعتماد برنامج (arcgis, ٢٠١٠.٣) و خريطة رقم (٢)

جدول (٢) نوع التضاريس حسب الانحدار (زنك)

الصنف	نوع التضاريس حسب الانحدار (زنك)	نوع الانحدار	درجة الانحدار	مساحة	نسبة
١	سهل او قاع وادي	مسطح	٠ _ ٢	١٥.٢٤	٩.٩٩
٢	سهول تحتية نهرية عليا	تموج خفيف	٢ _ ٨	٦٢.٩٩	٤١.٢٩
٣	تلل منخفضة	متموج	٨ _ ١٦	٤٠.٤٣	٢٦.٣١
٤	تلل مرتفعة	مقاطعة مجزأة	١٦ _ ٣٠	٢٨.٥٩	١٨.٧٤
٥	جبال	مقاطعة بدرجة عالية	٣٠ فاكثر من	٥.٢٥	٣.٤٤
المجموع				١٥٢.٥٣	١٠٠

المصدر :- من عمل الباحث بالاعتماد (العاني ، ٢٠١٠) و برنامج (arcgis, ٢٠١٠.٣)

ونموذج الارتفاع الرقمي (DEM)

جدول (٣) العناصر المناخية لمحطة دهوك للمدة (٢٠١٤-٢٠٠٤)

الأشهر	درجة الحرارة العظمى م	درجة الحرارة الصغرى م	مجموع الامطار ملم	سرعة الرياح م/ثا	الرطوبة % النسبية	الاشعة الشمسي ساعة ١ اليوم
كانون ثاني	٩.٥٣	١.٤٤	٩٩٤.٤٣	٢.٣٣	٦٧.٠٨	٤.٣٣
شباط	١١.٦٤	٢.٢٣	٨١٨.٣	٢.٤٢	٦٦.٦٧	٤.٢٩
اذار	١٧.١١	٥.٥١	٦٢١.٨٣	٢.٥	٥٧.٤٢	٥.٨
نيسان	٢٣.٢٥	١٠.١٩	٥٣٨.٩٩	٢.٧١	٤٨.٨	٦.٧٩
مايس	٣٠.٤١	١٥.٧٤	١٤٠.٦٣	٢.٦٩	٣٢.١	٩.١٤
حزيران	٣٧.٧	٢٠.٧٨	١.٤٩	٢.٧١	١٦.٩٨	١١.٢٤
تموز	٤٠.٨٧	٢٣.٨٧	٠.٠٤	٢.٦٩	١٤.٨٣	١٢.٠٨
آب	٤٠.٥١	٢٤.٣٨	٠.٠٦	٢.٧	١٣.٣٥	١١.٣٢
ايلول	٣٥.٣٢	٢٠.١٤	٢.٩٤	٢.٦٨	١٦.٧٦	١٠.١٢
تشرين اول	٢٧.٨٩	١٥.١٢	١١١.٣٧	٢.٦٨	٢٧.١٨	٧.١٨
تشرين ثانى	١٧.٦٩	٧.٧٦	٤٢٩.٠٧	٢.٢١	٤٦.٣٧	٦.٠٩
كانون اول	١٢.٠٢	٣.٠٩	٦٨٧.٨١	٢.٢٧	٥١.٧٥	٥.١٧
المعدل السنوي	٢٥.٣٣	١٢.٥٢	٤٣٥٦.٩٥	٢.٥٥	٣٨.٢٧	٨.١٥

المصدر من عمل الباحث بالاعتماد على -١- Global Weather Data for SWAT -Global Weather Data for SWAT- إقليم كردستان العراق ، وزارة النقل والمواصلات ، الهيئة العامة للأنواء الجوية والرصد الزلزالي ، قسم المناخ ، بيانات عناصر المناخ ، بيانات غير منشورة دهوك (٢٠٠٠-٢٠١١).

جدول (٤) ترب منطقة الدراسة

نوع التربة	مساحة	نسبة مئوية
ارض وعرة مشققة صخرية	٨٨.٢٥	٥٧.٨٥
تربة بنية ذات السمك المتوسط	١٧.٢٨	١١.٣٢
تربة بنية ذات السمك العميق	٤٦.٩٩	٣٠.٨
المجموع	١٥٢.٥٣	١٠٠

المصدر:- من عمل الباحث باعتماد : (Buringh, ١٩٦٠) و برنامج Arcgis, ١٠.٣ جدول(٥) نتائج التحليل المورفومترى لنموذجي الارتفاع الرقمي (SRTM) (٣٠ و ٩٠) متر

الخاصية او المعامل المورفومترى	القيم للنموذج (٩٠) متر	القيم للنموذج (٣٠) متر	morphometric analysis	NO
			Drainage Network Parameters	١
عدد المرتبة ١	١١٧	٨٢١	Number of stream order ١	٢
عدد المرتبة ٢	٢٦	١٧٧	Number of stream order ٢	٣
عدد المرتبة ٣	٣	٤٢	Number of stream order ٣	٤
عدد المرتبة ٤	١	٩	Number of stream order ٤	٥
-	-	١	Number of stream order ٥	٦
مجموع اعداد المراتب	١٤٧	١٠٥٠	Total no. of stream order	٧
اطوال المراتب ١	١٠٤٤٧٦.٤٦	٢٧٨٠٤٢.٥٥	Length of stream order ١ m	٨
اطوال المراتب ٢	٥٧٧٥٦.٧	١٤٢٦٨٢.٢	Length of stream order ٢ m	٩
اطوال المراتب ٣	٤٩٤٥.٦٥٥٧	٧٠٣١٠.٩٦٨	Length of stream order ٣ m	١٠

اطوال المراتب ٤	٣٢٥٧٨.٤٦٩	١٩٨٤١.٥٤١	Length of stream order ٤ m	١١
-	-	٣٥٠٧٥.١٦٧	Length of stream order ٥ m	١٢
مجموع اطوال المراتب الكلى	١٩٩٧٥٧.٢٨	٥٤٥٩٥٧.٤٢	Total length of streams m	١٣
نسبة التشعب ٢:	٤.٥	٤.٦٣٨٤١٨١	Rb for ١:٢	١٤
نسبة التشعب ٣:	٨.٦٦٦٦٦٦٧	٤.٢١٤٢٨٥٧	Rb for ٢:٣	١٥
نسبة التشعب ٤:	٣	٤.٦٦٦٦٦٧	Rb for ٣:٤	١٦
-	-	٩	Rb for ٤:٥	١٧
معدل نسبة التشعب	٥.٣٨٨٨٨٨٨٩	٥.٦٢٩٨٤٢٦	Average Bifurcation ratio	١٨
الخصائص الشكلية للحوض	-	-	Geometry Parameters	
مساحة الحوض المستوية	١٤٩.٤٧٨١	١٥٢.٥٣٠٨٤	Total Basin Area(Kms ^٢)	١٩
مساحة الحوض السطحية	١٥٣.٤٠٤١٩	١٥٧.٣٢٠٩٣	Total Basin Surface Area(Kms ^٢)	٢٠
محيط الحوض	٨٢.٧٢٧٦٠٦	٩٢.٦٠٩٦١٥	Total Basin perimeter(Kms)	٢١
طول الحوض	٣٠.٢٥٧	٣١.٠٤٥	Basin Length (Kms)	٢٢
طول الفناة الرئيسية	٣٨.٦٦	٤٢.٢٢٣	Main Channel Length (Kms)	٢٣
نسبة المطابقة	٠.٤٦٧٣١٦٨	٠.٤٥٥٩٢٤٦	Fitness Ratio	٢٤
معامل الشكل	٠.١٦٣٢٧٧٣	٠.١٥٨٢٦١٢	Form factor	٢٥
نسبة معامل الشكل	٦.١٢٤٥٤٩٨	٦.٣١٨٦٧	Shape Factor Ratio	٢٦
نسبة المحيط	١.٨٠٦٨٧٠٨	١.٦٤٧٠٣٠٢	Relative perimeter	٢٧
علاقة الطول بالمساحة	٢٨.٢٤٠٦٤٢	٢٨.٥٨٥٢٩٢	Length Area Relation	٢٨
معامل التكوير	٤.٨١٢١٤٦١	٤.٩٦٤٦٦٩١	Rotundity coefficient	٢٩
متوسط العرض	٤.٩٤٠٢٨١٥	٤.٩١٣٢١٧٥	Mean Basin Width	٣٠
نسجة التصريف	١.٧٧٦٩١٥٩	١١.٣٣٧٩١٦	Drainage Texture	٣١
معامل التماسك او الاندماج	١.٩٢٢٣٥٢	٢.١٣٠٣٣٧٩	Compactness Coefficient	٣٢
نسبة الاستدارة	٠.٢٧٤٥٤٤	٠.٢٢٣٥٥٣١	Circularity ratio	٣٣
نسبة الاستطاله	٠.٤٥٥٩٥٠٨	٠.٤٤٨٨٩٢٤	Elongation ratio	٣٤
تحليل الخصائص النسيجية	-	-	Drainage Texture Analysis	-
كثافة الصرف	١.٣٢٦٣٦٤٩	٣.٥٧٩٣٢٤٩	Drainage density (km/km ^٢)	٣٥
متوسط كثافة الصرف	١.٣٠٢١٦٣٢	٣.٤٧٠٣٤٢	Modified Drainage density (km/km ^٢)	٣٦
التكرار النهرى	٠.٩٨٣٤٢١٧	٦.٨٨٣٨٥٣٩	Stream frequency (number/km ^٢)	٣٧
متوسط التكرار النهرى	٠.٩٥٨٢٥٢٩	٦.٦٧٤٢٥٥١	Modified Stream frequency (number/km ^٢)	٣٨
معامل الصيانة	٠.٧٤٨٢٩٨٦	٠.٢٧٩٣٨٢٣	Constant of channel maintenance (km ^٢ /km)	٣٩
متوسط معامل الصيانة	٠.٧٦٧٩٥٢٩	٠.٢٨٨١٥٦	Modified Constant of channel maintenance (km ^٢ /km)	٤٠
عدد الترشيح	١.٣١٤٢١٠٢	٢٤.٦٣٩٥٥	Infiltration Number	٤١
متوسط عدد الترشيح	١.٢٤٧٨٠١٦	٢٣.١٦١٩٤٨	Modified Infiltration Number	٤٢
شدة التصريف	٠.٧٣٥٨٩٣١	١.٩٢٣٢٢٦٩	Drainage Intensity	٤٣

**دقة التمييز المكاني لنموذج الارتفاع الرقمي وانعكاساتها على
القياسات المورفومترية- حوض بنديوية دراسة حالة**

الجريان السطحي	٠.٣٧٤١٤٩٣	٠.١٣٩٦٩١١	Average Length of Overland Flow (Kms)	٤٤
متوسط الجريان السطحي	٠.٣٨٣٩٧٦٥	٠.١٤٤٠٧٨	Modified Average Length of Overland Flow (Kms)	٤٥
الخصائص التضاريسية	-	-	Basin Relief	-
ارتفاع مخرج الحوض	٣٠٧	٣٠٧	Height of Basin outlet (m)	٤٦
أقصى ارتفاع للحوض	١٣٢٥	١٣٣٠	Maximum Height of basin(m)	٤٧
تضرس الحوض الكلى	١٠١٨	١٠٢٣	Total Basin Relief (H) m	٤٨
نسبة التضرس	٠.٠٣٣٦٤٥١	٠.٠٣٢٩٥٢٢	Relief Ratio	٤٩
نسبة التضرس النسبية	١.٢٣٠٥٤٤٥	١.١٠٤٦٣٦٩	Relative Relief Ratio	٥٠
نسبة التدرج	٠.٠٣٣٦٤٥١	٠.٠٣٢٩٥٢٢	Gradient Ratio	٥١
عدد الوعرة	١٣٦٠٤١٩٥	٣٦٦١٦٤٩٤	Ruggedness Number	٥٢
عدددمليتون للوعرة	٨٣.٢٦٤٣٣١	٨٢.٨٣١٧٤٤	Melton Ruggedness Number	٥٣
متوسط عدد ميلتون للوعرة	٨٢.١٩١٩٢٩	٨١.٥٦٠٩٧١	Modified Melton Ruggedness Number	٥٤
مؤشر تمحوج التضاريس	١.٠٢٦٢٦٥٣	١.٠٣١٤٠٤١	Terrain Undulation Index	٥٥
التكامل الهيسومترى	٣٥.٠٧	٣٤.٨	Hypsometric Integral (Height_Area Ratios)	٥٦

المصدر: من عمل الباحث بالاعتماد على -١ (٣٠) SRTM – ١ arc second
 SRTM – ٣ arc second (٩٠) ArcGIS – Morphometric toolbox V.٢ وبرنامج متر.